

ОСОБЕННОСТИ ИЗОЧАСТОТНОГО КОМБИНАЦИОННОГО РАССЕЯНИЯ
СВЕТА ВБЛИЗИ ТОЧКИ ФАЗОВОГО ПЕРЕХОДА В КРИСТАЛЛАХ

В. С. Горелик, С. В. Иванова

УДК 535.361

Предложен новый метод исследования параметров мягкой моды в кристаллах в непосредственной близости от точки фазового перехода, основанный на анализе изочастотных температурных зависимостей интенсивности комбинационного рассеяния света.

Исследования комбинационного рассеяния (КР) в кристаллах вблизи точки фазового перехода позволяют получить ценную информацию о параметрах мягкой моды, ответственной за фазовый переход /1,2/. Однако прямое сопоставление выводов теории /1,2/ с экспериментом оказывается затруднительным в непосредственной близости от точки перехода, когда частота мягкой моды становится сравнимой с коэффициентом затухания: $\Omega \leq \Gamma$. Исследования спектров КР в этом случае малоинформативны, так как наблюдаемый спектр в области мягкой моды принимает вид континуума /3-5/ со слабо выраженным максимумом или вообще без максимума интенсивности.

В настоящей работе предлагается метод получения информации о мягкой моде, основанный на анализе изочастотных температурных зависимостей интенсивности КР, регистрируемого при фиксированных частотах Ω в области мягкой моды.

Анализ изочастотных зависимостей КР может быть выполнен на основе общей теории рассеяния света вблизи точки фазового перехода второго рода, развитой В. Л. Гинзбургом и А. П. Леванюком и подробно обсуждавшейся в обзорах /1,2/. В приближении одной мягкой моды в этой теории получено следующее выражение для спектральной интенсивности КР:

$$J(\Omega, T) = I(T) \frac{\Gamma \Omega_0^2}{\pi [(\Omega_0^2 - \Omega^2)^2 + \Gamma^2 \Omega^2]} \quad (1)$$

Здесь $J(\Omega, T)$ — наблюдаемая спектральная интенсивность, $I(T)$ — интегральная интенсивность рассеяния, Ω_0 и Γ — соответствующие параметры мягкой моды, T — температура кристалла.

В условиях применимости теории Л. Д. Ландау (см. /1-3/) для частоты мягкой моды имеет место соотношение:

$$\Omega_0^2 = 2A_0(\theta - T) = 2A_0|x| \quad \text{при } T < \theta, \quad (2a)$$

$$\Omega_0^2 = A_0(T - \theta) = A_0|x| \quad \text{при } T > \theta. \quad (2b)$$

Здесь A_0 — соответствующий коэффициент в разложении термодинамического потенциала по параметру порядка, θ — температура перехода, $x = \theta - T$. Ограничиваясь рассмотрением фазовых переходов второго рода, далеких от критической точки, можно полагать, что интегральная интенсивность $I(T)$ линейно возрастает с температурой в низкотемпературной модификации кристалла. Соответственно ниже точки перехода соотношение (1) может быть записано следующим образом:

$$i(\Omega, x) = \frac{2A_0|x|\Gamma}{[2A_0|x| - \Omega^2]^2 + \Gamma^2\Omega^2} \quad (3)$$

Здесь вместо наблюдаемой спектральной интенсивности $J(\Omega, T)$ используется приведенная спектральная интенсивность $i(\Omega, x)$, задаваемая соотношением:

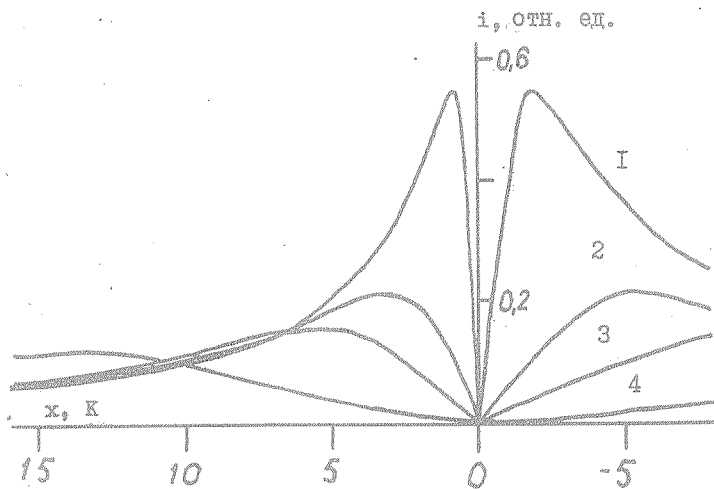
$$i(\Omega, x) = KJ(\Omega, T)/T, \quad (4)$$

где K — некоторый коэффициент, не зависящий от температуры.

Выше точки перехода, в согласии с (2b), имеем:

$$i(\Omega, x) = \frac{A_0|x|\Gamma}{[A_0|x| - \Omega^2]^2 + \Gamma^2\Omega^2} \quad (5)$$

На рис. 1 приводятся результаты расчета изочастотной зависимости КР согласно (3) и (5), полученной для значений частот $\Omega = 1, 3, 5$ и 10 см^{-1} при определенных параметрах A_0 и Γ . Такой выбор параметров соответствует сильно передемпфированному мягкому колебанию при $x \leq \Gamma^2/A_0 = 20 \text{ К}$. Как видно из этого рисунка, обсуждаемые зависимости имеют хорошо выраженный максимум, координата x_0 которого стремится к нулю при уменьшении частоты Ω . Кроме того, при этом возрастает интенсивность в максимуме $i(x_0)$ и уменьшается ширина соответствующих контуров (см. рис. 1).



Р и с. 1. Изочастотные зависимости, рассчитанные согласно (3) и (5) для значений частот $\Omega = 1, 3, 5$ и 10 см^{-1} ; (кривые 1, 2, 3, 4 соответственно) при $A_0 = 5 \text{ см}^{-2} \text{град}^{-1}$ и $\Gamma = 10 \text{ см}^{-1}$; $x = \theta - T$, θ — температура перехода

Следует отметить, что для многих кристаллов КР на мягком колебании выше точки Кюри оказывается запрещенным согласно правилам отбора. В частности, такая ситуация имеет место для сегнетоэлектриков с центросимметричной парафазой в согласии с известным правилом альтернативного запрета. При этом правый максимум интенсивности на рис. 1 должен отсутствовать, а со-

поставление теории с экспериментом имеет смысл проводить лишь для $T < \Theta$.

Анализ соотношения (3) показывает, что функция $i(\Omega, x)$ принимает максимальное значение $i(x_0) = \Gamma/2\Omega(\sqrt{\Omega^2 + \Gamma^2} - \Omega)$ при $x_0 = \Omega\sqrt{\Omega^2 + \Gamma^2}/(2\Lambda_0)$. Кроме того, если ввести эффективную полуширину $\xi = x_0 - x_1$ функции $i(\Omega, x)$ ($x_1 < x_0$; $i(\Omega, x_1) = (1/2)i(\Omega, x_0)$), то легко получить следующие соотношения:

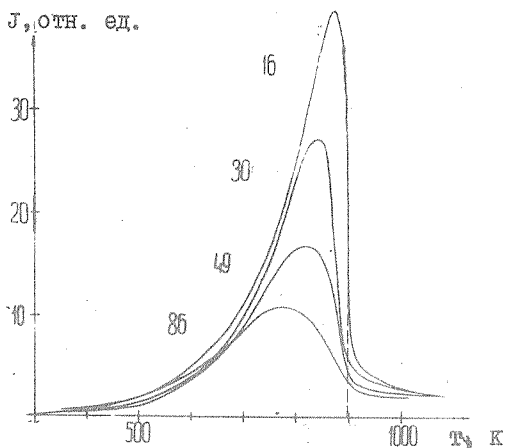
$$2\Lambda_0 = \frac{\Omega^2(x_0 + \xi)}{x_0(x_0 + \xi) - \xi^2/2},$$

$$\Gamma = \Omega\xi \frac{\sqrt{x_0(x_0 + \xi) - \xi^2/4}}{x_0(x_0 + \xi) - \xi^2/2}.$$

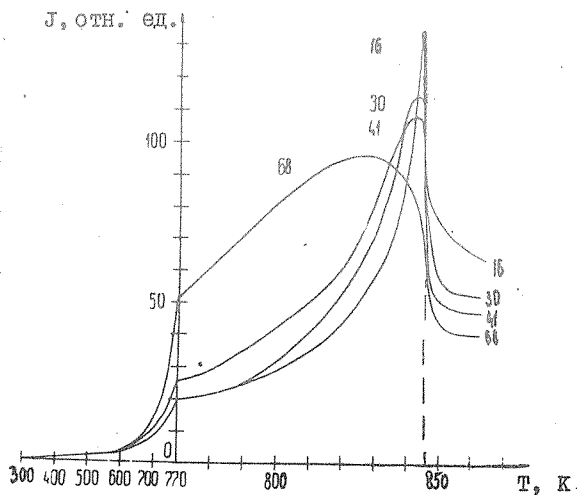
Нами были экспериментально изучены изочастотные зависимости КР для монокристаллов кварца и танталата лития. Регистрация интенсивности КР проводилась на двойном монохроматоре с использованием известной методики лазерного возбуждения КР [3]. При комнатной температуре и при нагревании кристаллов регистрировались контрольные спектры КР для геометрии рассеяния $x(zz)y$. Такая геометрия рассеяния в кварце и танталате лития соответствует возбуждению в процессах КР колебаний кристаллической решетки этих кристаллов, классифицируемых полносимметричным (A_1) типом симметрии. При этом спектральная ширина щели составляла 1 см^{-1} , а запись спектра в области низких частот начиналась с $8-10 \text{ см}^{-1}$. Затем при аналогичных условиях проводились измерения интенсивности КР для фиксированных частот $\Omega_1, \Omega_2, \Omega_3$ и Ω_4 при медленном изменении температуры кристаллов. Полученные изочастотные зависимости интенсивности $J(\Omega, T)$ для кристаллов кварца и танталата лития показаны на рис. 2 и 3.

Как видно из рис. 2 и 3, экспериментально наблюдаемые изочастотные зависимости качественно согласуются ^{*)} с видом теоретических кривых рис. 1. Измеренные значения x_0 (координат мак-

^{*)} Отметим, что вследствие большого значения Θ температуры перехода формы кривых $J(\Omega, T)$ и $i(\Omega, x) \sim J(\Omega, T)/T$ должны мало отличаться вблизи фазового перехода.



Р и с. 2. Наблюдаемая изочастотная зависимость интенсивности КР $J(\Omega, T)$ в кристаллах танталата лития; $T_C = 898$ К. Цифры у кривых — частоты в см^{-1}



Р и с. 3. Наблюдаемая изочастотная зависимость интенсивности КР $J(\Omega, T)$ в кристаллах кварца; $T_C = 846$ К. Цифры у кривых — частоты в см^{-1}

симумов интенсивности), $i(x_0)$ и ξ приводятся в табл. I. Как следует из этой таблицы, координаты x_0 асимптотически приближаются к координате точки фазового перехода с уменьшением частоты Ω . Кроме того, при этом происходит возрастание $i(x_0)$ и уменьшение ξ . В случае кварца скорость уменьшения полуширины ξ с температурой оказывается гораздо большей, чем для танталата лития (см. рис. 2 и 3).

Таблица I.

Параметры изочастотной зависимости $i(\Omega, x)$ в кристаллах танталата лития и кварца; x_0 - координата максимума интенсивности на шкале $\theta - T$; $i(x_0)$ - интенсивность максимума; ξ - эффективная полуширина; Ω - частота

Танталат лития				Кварц			
x_0 , К	$i(x_0)$	ξ , К	Ω , см ⁻¹	x_0 , К	$i(x_0)$	ξ , К	Ω , см ⁻¹
33	185	115	16	0,5	317	10	16
63	135	125	30	3	271	20	30
88	75	130	49	3	256	30	41
138	46	150	86	19	233	68	68

Количественное сопоставление наблюдаемых особенностей КР с теорией /1,2/ будет выполнено в последующих работах. Однако уже из приведенных данных можно сделать вывод о динамическом характере наблюдавшегося возрастания интенсивности рассеяного света. Подтверждением такого вывода служит тот факт, что координаты максимумов интенсивности не совпадают с координатой перехода ($x_0 \neq 0$), а также то, что интенсивность и ширина наблюдавшихся пиков существенно зависят от частоты Ω .

Поступила в редакцию
25 мая 1981 г.

Л и т е р а т у р а

1. В. Л. Гинзбург, УФН, 77, 621 (1962).

2. В. Л. Гинзбург, А. П. Леванюк, А. А. Собянин, УФН, 130, 615 (1980).
3. В. С. Горелик и др., ФТТ, 18, 2297 (1976).
4. А. Ф. Ренна, А. Chaves, S. P. S. Porto, Solid State Com., 19, 491 (1976).
5. J. F. Scott, Rev. Mod. Phys., 46, 83 (1974).